

La teoría del “Aspín”

Unificación mecánica de las fuerzas básicas

Yoël Lana-Renault

Departamento de Física Teórica

Universidad de Zaragoza. 50009 Zaragoza. Spain

correo e.: yoel@kepler.unizar.es

Abstract. Teoría exclusivamente mecánica que unifica todas las fuerzas básicas mediante una única interacción partícula-onda.

Introducción

Nuestra intención en este documento es tan sólo dar a conocer que hemos obtenido una única interacción mecánica partícula-onda que reproduce todas las fuerzas básicas conocidas y que su aplicación a la materia, nos conduce a concebir un nuevo y distinto núcleo atómico, así como a desarrollar y perfeccionar los conocimientos de otros campos de la Física, de la Química y de la Ciencia en general. Por lo tanto, en esta primera presentación, omitiremos desarrollos matemáticos y nos limitaremos sólo a exponer una síntesis de la teoría, sus expectativas y algunos resultados obtenidos. Además, debemos considerarla en todo momento como una teoría básica en construcción perfeccionable capaz de asumir otras hipótesis para la consecución de otros objetivos que nos propongamos en el futuro.

Hipótesis

La teoría parte de la existencia de unas partículas elementales que llamaremos “tones”.

Los tones están modelados como burbujas esféricas cuya membrana vibra en la dirección radial anarmónicamente alrededor de una posición de equilibrio R_I .

Las propiedades elásticas de estas membranas pulsantes están gobernadas por el potencial anarmónico^[1]

$$V(r) = \frac{1}{2} M x^2 \omega^2 r^2 \left(1 - 2r_o r^{-\frac{1}{x}} + (r_o^2 - A_o^2) r^{-\frac{2}{x}} \right) \quad (1)$$

cuya solución general para energía cero ($E = 0$) es precisamente la ecuación del movimiento oscilatorio de la membrana del ton

$$r(\omega t) = (r_o + A_o \sin[\omega t])^x \quad (2)$$

En (1) y (2), r es la posición de la membrana en un instante t ; M es la masa de la membrana; r_o y A_o son dos parámetros independientes, cumpliéndose siempre que $r_o > A_o > 0$. Como es usual, ω representará la frecuencia angular pulsante del movimiento oscilatorio y el exponente x es otro parámetro independiente positivo mayor que cero.

El movimiento oscilatorio está confinado para valores $V(r) < E$. Para oscilaciones de energía $E = 0$ e imponiendo la condición de contorno $V(r) = 0$, encontramos que las posiciones mínima (R_m) y máxima (R_M) del oscilador son

$$R_m = (r_o - A_o)^x = r\left(-\frac{\pi}{2}\right), \quad R_M = (r_o + A_o)^x = r\left(\frac{\pi}{2}\right) \quad (3)$$

y calculando el mínimo del potencial obtenemos la posición R_I de equilibrio

$$R_I = \left(r_o + \frac{-r_o + \sqrt{r_o^2 + 4x(x-1)A_o^2}}{2x} \right)^x = r(\varphi_I) \quad (4)$$

en donde la velocidad de la membrana es máxima (v_M) y el ángulo ωt es $\varphi_I \neq 0$ para $x \neq 1$.

Entre las posiciones R_m y R_I , la membrana desarrolla una fuerza impelente debido a que su aceleración media es positiva ($a_{imp} > 0$), en tanto que entre las posiciones R_I y R_M la fuerza es aspirante como consecuencia de que su aceleración media es negativa ($a_{asp} < 0$).

Cuando el exponente x toma el valor 1 (ley de Hooke) obtenemos que $a_{imp} = |a_{asp}|$, por lo que su aceleración “suma” ($a = a_{imp} + a_{asp}$) es cero y coincidente con el valor de la aceleración media a lo largo de un semiperíodo.

Sin embargo, cuando $x \neq 1$ se obtiene que $a_{imp} \neq |a_{asp}|$. Concretando:

$$\text{si } x > 1 \Rightarrow a_{imp} < |a_{asp}| \Rightarrow a < 0; \text{ y si } 0 < x < 1 \Rightarrow a_{imp} > |a_{asp}| \Rightarrow a > 0$$

Visto esto, nuestra tesis es que los tones (burbujas pulsantes anarmónicas) sumergidos en un fluido trabajan como bombas mecánicas impelentes ($a > 0$) o aspirantes ($a < 0$) en función de si el exponente x de su ecuación del movimiento oscilatorio toma valores $0 < x < 1$ ó $x > 1$ respectivamente.

Llamaremos “positón” al ton que toma valores $0 < x < 1$ y “negatón” al que toma valores $x > 1$.

Estos tones, sumergidos en un fluido isotrópico debido a su esfericidad, estarían en un continuo equilibrio de fuerzas y, por lo tanto, inmóviles (no se desplazarían). Sin embargo, basta que en el medio hubiese un pequeño gradiente de densidad o relativo a alguna de sus propiedades elásticas (rigidez, ...) para que éstos, los tones, se autopropulsaran hacia una dirección determinada o la contraria en función de si son tones impelentes (positón) o aspirantes (negatón).

Dichos tones sumergidos en el vacío (a falta de definir sus propiedades) emitirán ondas esféricas longitudinales anarmónicas del tipo:

$$\phi(d, t) = \frac{\psi(d, t)}{d} \quad \text{siendo} \quad \psi(d, t) = (r_o + A_o \sin[kd - \omega t])^x - R_I$$

las cuales, polarizarán este medio y le suministrará en todo momento un gradiente debido a que la amplitud de la onda es inversamente proporcional a la distancia d .

Resumiendo, nuestra tesis es la siguiente:

Los tonos, dado su movimiento pulsante, emiten ondas esféricas longitudinales anarmónicas polarizadas positivamente (positón) o negativamente (negatón). Estas ondas constituirían lo que denominamos campo eléctrico.

Los tonos se autopropulsan en estos campos de ondas. Definiendo un coeficiente adimensional de restitución de fuerzas que contempla el gradiente polarizado mencionado, hemos deducido que la fuerza de interacción mecánico-vibratoria (onda-ton) que un ton i ejerce sobre otro j , separados por una distancia d , es

$$F_{ij}(d) = \delta_i \sqrt{\frac{\xi_i}{\xi_j}} \frac{(m_i R_i)(a_j R_j)}{d^2 - R_j^2} \quad (5)$$

donde, R_i y R_j son los radios medios de las membranas de los tonos i y j respectivamente; m_i es la masa del ton emisor i ; a_j es la aceleración “suma” de la membrana del ton j ; ξ_i y ξ_j son unos coeficientes adimensionales arbitrarios; y, por último, $\delta_i = +1$ cuando i es un positón y -1 si i es un negatón. El ton i es el generador del gradiente polarizado existente en el medio (campo de ondas anarmónicas).

Los coeficientes ξ_i y ξ_j están ligados con las siguientes hipótesis:

Todos los tonos libres de fuerzas exteriores tienen spín $1/2$, es decir, rotan alrededor de un eje propio de tal manera que su momento angular S es siempre constante. Si I es su momento de inercia, tendremos:

$$S = I\omega_s = h/4\pi \quad (6)$$

donde h es la constante de Plank y ω_s su velocidad angular, la cual, depende de su frecuencia angular pulsante ω y del coeficiente adimensional arbitrario ξ mediante la relación

$$\omega_s = \xi \omega \quad \text{con} \quad 0 < \xi < 3/8 \quad (7)$$

Por último, asumimos que la energía interna E_{int} de un ton cumple con la relación corpúsculo-onda de De Broglie

$$E_{int} = m c^2 = h\nu = h\omega / 2\pi \quad (8)$$

y que ésta, a su vez, es la energía cinética máxima de la membrana

$$E_{int} = T(R_I) = \frac{1}{2} M v_M^2 \quad (9)$$

(m es la masa del ton, v su frecuencia y c la velocidad de la luz)

Consecuentemente, podemos escribir que en la posición de equilibrio R_I se cumple:

$$V(R_I) + E_{int} = 0 \quad (10)$$

Es importante destacar que en la hipótesis (8), estamos admitiendo conceptualmente que la masa m del ton es una consecuencia de la frecuencia ν pulsante. Como contrapartida, en la (9) tenemos que la masa M de la membrana del ton, también utilizada en (1) y (6), es una cantidad de sustancia desconocida (quizás energía almacenada) productora de la pulsación ν debido a sus propiedades elásticas. Por lo tanto, ambas masas tienen que estar relacionadas. Suponiendo que estas esferas huecas pulsantes tuviesen uniformemente distribuida en su superficie una carga unitaria e (carga del electrón) y calculando clásicamente el momento magnético que producirían éstas, hemos deducido que se tiene que cumplir la relación

$$m = 2M \quad (11)$$

Para diferenciarlas conceptualmente, a partir de ahora, llamemos a la masa M de la membrana, masa “pasiva”, y a la masa m del ton que es la que podemos medir, masa “activa”.

Como consecuencia de (8), (9) y (11), la velocidad máxima v_M de la membrana es constante y toma el valor $2c$.

Resolución

Con todo lo expuesto, disponemos de las ecuaciones necesarias y suficientes para calcular los parámetros independientes x , r_o , A_o , y ω de cualquier ton libre con solo fijar su masa m y su coeficiente de rapidez de giro ξ . Procederíamos de la siguiente forma:

De (8) obtenemos la frecuencia pulsante v y su frecuencia angular ω así como su energía interna E_{int} . De (7) su velocidad angular ω_s de rotación. Utilizamos la interacción (5) mecánico-onda F_{ij} para imponer la condición de contorno que 2 tones iguales de masa m_i se repelen con la fuerza eléctrica $F_E = ke^2/d^2$, en donde despreciamos en el denominador, el radio medio R_j frente a la distancia d de separación. Luego para $j = i$ la ecuación (5) se transforma en

$$\delta_i m_i a_i R_i^2 = k e^2 \quad (12)$$

donde k es la constante de Coulomb y e es el valor de la carga del electrón en coulombios.

A continuación, utilizando (2) y (4) transformamos las ecuaciones (6), (10) y (12) para que dependan exclusivamente de los parámetros no conocidos x , r_o y A_o y así, disponer de un sistema de tres ecuaciones no lineales con sólo tres incógnitas. Resolviendo numéricamente el sistema, obtenemos los valores x_i , r_{oi} y A_{oi} de un ton i , y seguidamente, calculamos todas sus características (sus radios R_{mi} , R_i , R_{li} , R_{Mi} , su momento de inercia I_i , su aceleración “suma” a_i , etc.).

F_{ij} como fuerza eléctrica

Resumiendo: para cada par de valores (m_i , ξ_i) de un ton i (ya sea positón o negatón), podemos obtener fácilmente todas sus características mecánicas (dimensiones, frecuencias de pulsación y rotación, aceleraciones y velocidades de su membrana, momentos, etc.) y enfrentar estos resultados a la interacción mecánico-onda (5) que se produce entre ellos. Pues bien, la ecuación (5) satisface la interacción eléctrica entre tones alejados entre sí independientemente de los valores obtenidos para los radios medios R_i , R_j y para la aceleración “suma” a_j . La razón de ello es que, debido a las propiedades que se establecen entre los valores ξ_i , ξ_j , a_i , a_j , R_i y R_j , se obtiene la relación fundamental

$$F_{ij}(d) = \delta_i \sqrt{\frac{\xi_i}{\xi_j}} \frac{(m_i R_i)(a_j R_j)}{d^2 - R_j^2} = \delta_i \delta_j \frac{k e^2}{d^2 - R_j^2} \quad (13)$$

Podemos concluir diciendo:

El modelo propuesto está basado exclusivamente en dos clases de partículas elementales llamadas “tones” (*positón* y *negatón*) que constituyen la materia. Como consecuencia de las fuerzas de interacción mecánico-onda entre los tones, el positón es el ton que asume el papel de poseer una carga aparente unitaria positiva (e^+) mientras que el negatón, lo asociamos con el ton que tiene una carga aparente unitaria negativa (e^-). En este modelo, la carga eléctrica no es una propiedad inherente de las partículas elementales o tones, sino que es una consecuencia de las fuerzas mecánicas existentes entre ellos. No obstante, desde la perspectiva de este modelo y utilizando la ecuación de contorno (12), podemos definir el valor de la carga unitaria eléctrica e mediante la expresión

$$e = R_i \sqrt{\frac{\delta_i m_i a_i}{k}} \quad (14)$$

y afirmar que

Para distancias grandes ($d \gg R_i + R_j$) entre dos partículas-ton i y j cargadas eléctricamente ($\pm e$), la fuerza de interacción mecánico-onda F_{ij} asume el papel de ser la fuerza eléctrica $F_E = \pm k e^2/d^2$.

F_{ij} como fuerza nuclear

También podemos adelantar que

Para distancias muy cortas ($d \approx R_i + R_j$), la fuerza F_{ij} aumenta considerablemente debido al término $d^2 - R_j^2$ en el denominador. Si los tones i y j son opuestos (*I positón + I negatón*) y los hacemos orbitar entre sí constituyendo una partícula compuesta y neutra eléctricamente, de tal manera que F_{ij} es anulada por la fuerza centrífuga del movimiento orbital, la interacción mecánico-onda F_{ij} nos asegura una atadura muy fuerte comparable a las fuerzas nucleares. Dicho de otro modo, la fuerza de interacción mecánico-onda F_{ij} va a asumir también el rol de ser la fuerza nuclear y, por lo tanto, la causante del posible modelo de constitución de la materia que veremos más adelante.

Gravedad

Otra de las posibilidades que nos ofrece la interacción mecánico-onda F_{ij} es la obtención y entendimiento de la fuerza de la gravedad como un residuo de las interacciones mecánico-onda existentes entre dos materias neutras formadas por tones opuestos. No es lógico que positones y negatones tengan exactamente igual su momento angular (spín $\frac{1}{2}$) cuando, como hemos visto, las propiedades elásticas de sus membranas pulsantes son completamente distintas al ser el exponente x de su ecuación de movimiento (2) menor o mayor que 1 respectivamente.

Hemos encontrado que si producimos una pequeña asimetría en el valor del spín $\frac{1}{2}$ de los tones (*positón y negatón*), logramos obtener el resultado de la gravedad. La asimetría consiste de alguna manera en sumar y restar un valor infinitesimal ($\varepsilon < 10^{-20} \cdot h$) al spín $\frac{1}{2}$ de los tones establecido en (6).

Nosotros hemos encontrado el siguiente procedimiento para producir la asimetría de spín mencionada.

Definimos que el momento angular o spín de cualquier ton i libre de fuerzas exteriores y, con masa m_i y coeficiente de giro ξ_i , toma el valor

$$S_i = S \sqrt{Aspín_i} \quad (15)$$

donde el nuevo término “Aspín_i” adimensional causante de la *asimetría* del valor del spín es

$$Aspín_i = \frac{H_i + 2 + \delta_i \sqrt{H_i(H_i + 4)}}{2} \quad (16)$$

con

$$H_i = \frac{4Gm_i^2}{ke^2} \quad (17)$$

y G, la constante de gravitación.

Si diferenciamos a los positones de los negatones mediante las letras A y B respectivamente y consideramos que sus masas son iguales ($m_A = m_B$), de (15), (16) y (17), obtenemos las siguientes relaciones específicas

$$Aspín_A Aspín_B = 1 \quad (18), \quad S_A S_B = S^2 \quad (19), \quad S_A / S_B = Aspín_A \quad (20)$$

las cuales, nos ayudan a comprender cómo es la asimetría de spín entre tones opuestos e iguales en masa. Si m_A fuese la masa de un positrón, su *Aspín_A* toma el valor:

$$Aspín_A = 1 + 9.79794... \times 10^{-22}$$

por lo que la diferencia $S_A - S$ en unidades h es 3.898×10^{-23} . Para el electrón (negatón B) obtenemos que la diferencia $S - S_B$ es prácticamente igual. Para tones de mayor masa, las diferencias $|S_i - S|$ se incrementan casi linealmente. Estas diferencias mínimas respecto al valor del spín $\frac{1}{2}$, imposibles de medir, tienen una relevancia total en la consecución de la gravedad como veremos a continuación.

Pero antes, mencionemos que la introducción de esta nueva hipótesis para los valores S_A y S_B de los positones y negatones libres respectivamente nos obliga a modificar y diferenciar la dependencia de sus velocidades angulares (7) en función de sus frecuencias pulsantes en la forma siguiente:

$$\omega_{Si} = \frac{\xi_i}{\sqrt{Aspín_i}} \omega_i \quad (21)$$

La asimetría de spín mencionada nos conduce a obtener la definitiva relación que existe entre las fuerzas de interacción mecánico-onda F_{ij} entre tones y las fuerzas eléctricas entre partículas con carga e .

$$F_{ij}(d) = \delta_i \sqrt{\frac{\xi_i}{\xi_j}} \frac{(m_i R_i)(a_j R_j)}{d^2 - R_j^2} = \delta_i \delta_j \sqrt{\frac{Aspín_i}{Aspín_j}} \frac{k e^2}{d^2 - R_j^2} \quad (22)$$

$\sum F_{ij}$ como fuerza de gravedad

Fijémonos que en la relación (22), el factor cociente de los *Aspines* traslada la asimetría del spín a las fuerzas eléctricas. Por lo tanto, como consecuencia de la asimetría eléctrica encontrada, si ahora aplicamos la interacción mecánico-onda F_{ij} entre dos materias neutras M y M' formadas por tones opuestos, llegamos al resultado de la gravedad, es decir, el sumatorio de todas las fuerzas mecánico-onda que los tones i de la masa M ejercen sobre todos los tones j de la masa M' es la fuerza de la gravedad. Despreciando los radios medios R_j frente a la distancia d de separación se obtiene

$$F_{MM'} = \sum F_{ij} = -G \frac{MM'}{d^2} \quad (23)$$

y también se verifica que la masa M' atrae a la masa M con la misma fuerza

$$F_{M'M} = \sum F_{ji} = -G \frac{M'M}{d^2} \quad (24)$$

Veamos este resultado con más detalle. Como ejemplo sencillo, construyamos una materia neutra de masa M formada por un solo positón A y un negatón B tal que sus masas sean iguales ($m_A = m_B = M/2$), y otra M' ($M' < M$) formada igualmente por otros dos tones opuestos a y b tal que sus masas cumplen $m_a = m_b = M'/2$. En estas condiciones, las fuerzas de interacción F_{ij} cumplen las siguientes propiedades:

$$-F_{Ab} > F_{Aa} > F_E = ke^2/d^2 > F_{Bb} > -F_{Ba} \quad (25)$$

$$-F_{aB} > F_{bb} > F_E = ke^2/d^2 > F_{aA} > -F_{bA} \quad (26)$$

debido a que los factores cociente de los *Aspines* cumplen la relación

$$\sqrt{\frac{Aspín_A}{Aspín_b}} > \sqrt{\frac{Aspín_A}{Aspín_a}} > 1 > \sqrt{\frac{Aspín_B}{Aspín_b}} > \sqrt{\frac{Aspín_B}{Aspín_a}} \quad (27)$$

Nota: las asimetrías eléctricas (25) y (26) sólo se pueden apreciar si trabajamos con más de 17 decimales significativos. Con menos precisión, las desigualdades son igualdades.

La consecución de la gravedad se consigue porque se cumplen las siguientes relaciones

$$\begin{aligned} F_{MM'} &= \sum F_{ij} = F_{Ab} + F_{Aa} + F_{Bb} + F_{Ba} = \\ &= \frac{ke^2}{d^2} \left(-\sqrt{\frac{Aspín_A}{Aspín_b}} + \sqrt{\frac{Aspín_A}{Aspín_a}} + \sqrt{\frac{Aspín_B}{Aspín_b}} - \sqrt{\frac{Aspín_B}{Aspín_a}} \right) = -G \frac{MM'}{d^2} \end{aligned} \quad (28)$$

$$F_{M'M} = \sum F_{ji} = F_{aB} + F_{bB} + F_{aA} + F_{bA} = \\ = \frac{k e^2}{d^2} \left(-\sqrt{\frac{Aspín_a}{Aspín_B}} + \sqrt{\frac{Aspín_b}{Aspín_B}} + \sqrt{\frac{Aspín_a}{Aspín_A}} - \sqrt{\frac{Aspín_b}{Aspín_A}} \right) = -G \frac{M'M}{d^2} \quad (29)$$

Consecuencias del Aspín

Sabemos que para cualquier masa, el *Aspín* de un positón siempre es mayor que el *Aspín* de un negatón. Esto implica las siguientes propiedades:

1º) Un positón *A* atrae siempre débilmente una materia neutra *ab*

$$Fuerza A_{ab} = \frac{k e^2}{d^2} \sqrt{\frac{Aspín_A}{Aspín_a}} \left(1 - \sqrt{\frac{Aspín_a}{Aspín_b}} \right) < 0 \Rightarrow Atracción$$

2º) Un negatón *B* repele siempre débilmente una materia neutra *ab*

$$Fuerza B_{ab} = \frac{k e^2}{d^2} \sqrt{\frac{Aspín_B}{Aspín_b}} \left(1 - \sqrt{\frac{Aspín_b}{Aspín_a}} \right) > 0 \Rightarrow Repulsión$$

3º) Una materia neutra *ab* repele siempre débilmente un positón *A*

$$Fuerza ab_A = \frac{k e^2}{d^2} \sqrt{\frac{Aspín_a}{Aspín_A}} \left(1 - \sqrt{\frac{Aspín_b}{Aspín_a}} \right) > 0 \Rightarrow Repulsión$$

4º) Una materia neutra *ab* atrae siempre débilmente un negatón *B*

$$Fuerza ab_B = \frac{k e^2}{d^2} \sqrt{\frac{Aspín_b}{Aspín_B}} \left(1 - \sqrt{\frac{Aspín_a}{Aspín_b}} \right) < 0 \Rightarrow Atracción$$

Nota: las atracciones y las repulsiones son del orden de $10^{-19} ke^2/d^2$

5º) Por último, podemos mencionar que se establece la siguiente relación si $m_A = m_B$ y $m_a = m_b$

$$\frac{-[Atracciones A_{ab} = ab_B]}{Repulsiones B_{ab} = ab_A} = Aspín_A > 1$$

Energía potencial de un ton *j* en órbita alrededor de un ton opuesto *i*

Creemos interesante mostrar su expresión por su relevancia en la modelación de las partículas compuestas y de los núcleos que veremos a continuación.

$$U_{ij}(d) = - \int F_{ij} d\ell d = -\delta_i \sqrt{\frac{\xi_i}{\xi_j}} \frac{(m_i R_i)(a_j R_j)}{2R_j} \text{Log} \frac{d-R_j}{d+R_j} = \sqrt{\frac{Aspín_i}{Aspín_j}} \frac{k e^2}{2R_j} \text{Log} \frac{d-R_j}{d+R_j} \quad (30)$$

Modelando las partículas

Creemos que nuestras partículas “tones” son capaces de modelar la estructura elemental de la materia que conocemos, así como de reproducir sus propiedades y predecir otras. Es una labor inmensa de trabajo en equipo y puede abarcar muchos años de trabajo e investigación. De ahí que nosotros demos a conocer ya todo lo que hemos conseguido hasta el momento con la intención de que la teoría se perfeccione poco a poco con la ayuda de otros investigadores. Por lo tanto, vamos a exponer ahora en un breve resumen, las aplicaciones que hemos desarrollado hasta la fecha.

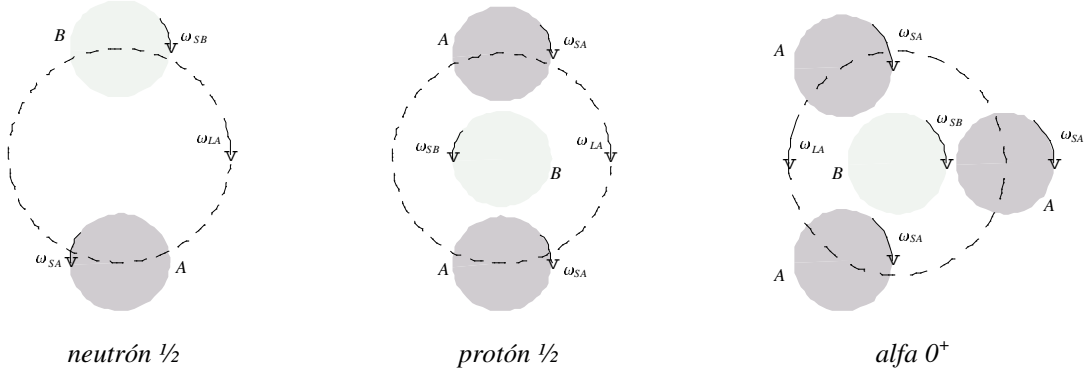
Los negatones libres de fuerzas exteriores se equiparan a los leptones conocidos (electrón, muón y tau), cumpliéndose todas sus propiedades. Sus correspondientes antipartículas son los positones libres. La teoría es flexible en cuanto a que ofrece la posibilidad de encontrar otros leptones.

Es importante destacar la siguiente propiedad de flexibilidad que nos aporta esta teoría:

Los tones libres, modifican sus dimensiones, sus momentos de inercia y sus velocidades de rotación en función del valor asignado al coeficiente ξ , manteniendo constante en todo momento sus valores de spín, masa, momento magnético e interacciones mecánico-onda F_{ij} que implican la carga aparente unitaria ($e\pm$). Lo único que varía es su energía cinética de rotación.

Creemos, por lo tanto, que ésta es una propiedad que nos permitirá adaptarnos mejor a la realidad de los leptones cuando conozcamos más detalles sobre ellos. Según nuestra teoría, las posibilidades del lepton son tres: que tenga un solo valor ξ determinado, que posea varios valores ξ fijos (cuantificación) o bien, que haya un rango de existencia continuo igual o más pequeño que el especificado en (7). Analizando (6) y (7), fijémonos que si ξ disminuye, la velocidad angular ω_s también disminuye, el momento de inercia I aumenta y consecuentemente, las dimensiones del ton aumentan.

Los tones opuestos ligados fuertemente por las fuerzas F_{ij} modifican su valor de spín $1/2$ causado posiblemente por la interacción con el medio manteniendo la propiedad de la asimetría en el valor del spín. La construcción dinámica-espacial de las partículas (y núcleos) conocidas restringe siempre los valores del coeficiente ξ a un rango limitado de existencia. Dentro de éste rango, los tones ligados tienen el mismo comportamiento que los tones libres, por lo que conservan también las características mencionadas de spín, masa, momento magnético, etc. independientemente del valor de ξ . Esto implica que la partícula (o núcleo) compuesta de dichos tones ligados también conserva sus características externas que podemos medir.



El neutrón de spín $1/2$ (ver figura) está modelado por un par de tones opuestos (A, B) iguales en masa y coeficiente de giro ξ , girando alrededor de su centro de masas. Por lo tanto, la masa m de cada ton es $1/2$ de la masa del neutrón, tienen la misma energía interna y pulsan con la misma frecuencia, manteniendo el positón un desfase de 180° con el negatón. Positón y negatón giran en sentidos contrarios de tal forma que el momento angular S_B del negatón es positivo y el del positón es negativo. Sus momentos orbitales L_A y L_B son positivos. El momento total J ($S_A + S_B + L_A + L_B$) es $1/2$ y el momento magnético total es el medido. La fuerza de interacción mecánico-onda F_{ij} que los une es débil, su valor puede estar entre $0,66$ y $0,28$ N dependiendo del valor que le demos al coeficiente de rapidez de giro ξ . El rango de existencia de ξ que permite esta estructura dentro de su rango general (7) es $1/440 < \xi < 3/8$. Posiblemente, la fuerza de ligadura F_{ij} débil obtenida sea la causante de que el neutrón sea una partícula poco estable. Se obtiene el neutrón de spín $-1/2$ cambiando todos los sentidos de giro. Finalmente, para obtener los antineutrones basta con intercambiar los tones (A por B).

La configuración del neutrino $1/2$ es similar al neutrón con la excepción de que los dos tones A y B giran a derechas y sus momentos orbitales son negativos. Debido a la pequeña asimetría existente en el valor de sus spines S_A y S_B , el modelo obtiene un ligerísimo momento magnético positivo aunque también es posible construir una partícula igual al neutrino descrito pero con momento magnético cero.

El protón de spín $1/2$ (ver figura) está modelado con tres tones, 2 positones A girando alrededor de un negatón B iguales en masa y coeficiente de giro ξ . La masa m de cada ton es $1/3$ de la masa del protón, tienen la misma energía interna y pulsan con la misma frecuencia, manteniendo los positones un desfase de 180° con el negatón. El momento angular de los positones y sus momentos orbitales son positivos mientras que el momento del negatón es negativo. El momento total J ($2S_A + S_B + 2L_A$) es $1/2$ y el momento magnético total $\mu = 2\mu_{SA} + \mu_{SB} + 2\mu_{LA}$ es el medido. La fuerza de ligadura F_{ij} es siempre fuerte, su valor está comprendido entre $39,9$ y $29,3$ N en función del rango permitido de ξ ($30/97 < \xi < 3/8$). Teniendo en cuenta además que los radios medios R_i de los tones están entre $1,39$ y $1,26$ fm y el

radio orbital r_A entre 2,78 y 3,08 fm respectivamente, podemos considerar que el protón es una partícula muy estable (ver Tabla para otros resultados). Igual que antes, se obtiene el protón de spín -½ cambiando todos los sentidos de giro y los antiprotones intercambiando los tones (A por B), es decir, tendremos dos negatones B girando alrededor de un positón A .

TABLA	Características posibles del <i>protón</i> formado por 2 <i>positones A</i> y 1 <i>negatón B</i> .		
Datos de entrada:	masas $m_A = m_B = m = \text{masa protón} / 3$	Momento angular: $J = S = h / 4\pi$	
	Coeficientes de giro: $\xi_A = \xi_B = \xi$	Momento magnético: $\mu = 2.79284739\mu_N$	
Coeficiente ξ :	1 / 3.22605	1 / 2.97500	1 / 2.67500
<i>Resultados del positón A</i>			
frecuencia angular pulsante ω_A	4.751620... x 10 ²³	=	=
aceleración "suma" a_A (m/s ²)	2.148154... x 10 ²⁹	2.329429... x 10 ²⁹	2.590673... x 10 ²⁹
radio medio R_A (fm)	1.387906...	1.332809...	1.263823...
radio máximo R_{MA} / R_A	1.909088...	1.946670...	1.998351...
radio posición de equilibrio R_{IA} / R_A	0.999398...	0.999326...	0.999223...
radio mínimo R_{mA} / R_A	0.090358...	0.052676...	0.000787...
momento de inercia I_A (kg·m ²)	3.579940... x 10 ⁻⁵⁸	3.301351... x 10 ⁻⁵⁸	2.968442... x 10 ⁻⁵⁸
velocidad angular ω_{SA} / ω_A	0.053433...	0.057942...	0.064440...
momento angular S_A / S	0.172379652	=	=
momento magnético μ_{SA} / μ_N	0.517138956	=	=
energía de rotación $E_{\omega SA}$ (MeV)	0.720192...	0.780967...	0.868552...
<i>órbita positones A</i>			
radio orbital $r_A / (R_A + R_B)$	1.000187...	1.103432...	1.217269...
momento de inercia I'_A / I_A	12.004490...	14.610750...	17.780948...
velocidad orbital angular $\omega_{LA} / \omega_{SA}$	0.199973...	0.164301...	0.135008...
momento orbital L_A / S	0.413810174	=	=
momento magnético orbital μ_{LA} / μ_N	0.620715261	=	=
energía rotación orbital $E_{\omega LA} / E_{\omega SA}$	0.480050...	0.394418...	0.324097...
fuerza de ligadura $-F_{BA}$ (N)	39.902898...	33.557326...	29.316256...
<i>Otros resultados</i>			
$2S_A + S_B + 2L_A$	J	=	=
$2\mu_{SA} + \mu_{SB} + 2\mu_{LA}$	μ	=	=
$E_{\omega total} = 2 E_{\omega SA} + E_{\omega SB} + 2 E_{\omega LA}$ (MeV)	2.852034...	2.958957...	3.168647...
$E_{\omega total} / m_p \cdot c^2$	0.003039...	0.003153...	0.003377...
$\frac{S_A}{-S_B} = \frac{R_A}{R_B} = \frac{-\omega_{SB}}{\omega_{SA}} = \sqrt{\frac{I_A}{I_B}} = \sqrt{\frac{-a_B}{a_A}} = \frac{\mu_{SA}}{\mu_{SB}} = \text{Aspín}_A = 1 + 5.99684... * 10^{-19}$			
$\omega_B = \omega_A ; E_{\omega SB} = E_{\omega SA} ;$			

Como podemos observar en la tabla del protón, los radios medios R_i de las membranas de los positones y los negatones de igual masa y coeficiente ξ son muy parecidos, pero no iguales. Su cociente es el valor del *Aspín* del positón A. Los tones opuestos e iguales siempre tienen esta propiedad. Lo mismo ocurre con el cociente de otras magnitudes (Ver Tabla).

Los positones y los negatones ligados entre sí pulsan siempre con la misma frecuencia v , pero con un desfase de π radianes, de tal forma que cuando la membrana del positón alcanza su radio máximo, la membrana del negatón tiene su radio mínimo y viceversa.

Las diferencias entre radio máximo y mínimo pueden llegar a ser importantes en función de ξ . Vease el protón. En el caso del neutrón, cuando ξ tiende a su valor máximo (3/8), el modelo predice que el radio máximo de los tones es 1,68 fm mientras que el radio mínimo alcanza cotas de 0,0006 fm.

Otra característica importante de los tones (libres o ligados) es que sus dimensiones disminuyen conforme su masa aumenta.

Modelando los núcleos

A partir de aquí, podemos seguir modelando los núcleos añadiendo positones y negatones. Con la excepción del núcleo del Hidrógeno, el modelo predice que cualquier núcleo de carga z^+ y masa atómica A tiene “ $2z-1$ ” positones ligados a “ $z-1$ ” negatones, de tal forma que el núcleo presenta un total de “ $3z-2$ ” tones y z cargas aparentes positivas por defecto. Debido a las fuerzas de interacción mecánico-onda F_{ij} , todos los tones están necesariamente girando en un solo plano orbital y, para que haya un perfecto acoplamiento entre ellos, todos poseen la misma masa atómica $m = A/(3z-2)$, o lo que es lo mismo, todos tienen la misma energía interna y pulsan con la misma frecuencia, manteniendo los positones un desfase de 180° con los negatones. Esta propiedad es importante junto con otras mencionadas para que las dimensiones de los núcleos sean mínimas. Todo se reduce a un problema geométrico de fuerzas, momentos angulares y orbitales hasta encontrar la distribución coplanaria y por capas concéntricas idónea de los tones que satisfaga todas las propiedades conocidas de un núcleo. Por ejemplo, el núcleo de Helio o partícula α consta de tres positones A, equidistantes entre sí, girando a izquierdas alrededor de un negatón B y todos los tones girando a derechas con el mismo valor de spín. El resultado es un núcleo que muestra una carga aparente por defecto de $2e^+$ y un momento total cero. Debido a la pequeña asimetría del valor de spín existente entre los positones y el negatón, el modelo predice un ligerísimo momento magnético positivo del orden de $10^{-18}\mu_N$ (μ_N es el magnetón nuclear).

Si los spines S_A y S_B de los tones que constituyen la partícula α tuvieran exactamente el mismo valor, el modelo cumpliría el teorema de Wigner-Eckart (momento total $J = 0$ implica momento magnético μ cero). Sin embargo, debido a la propiedad de la pequeña asimetría en valor de los spines ($S_A = S_B + \varepsilon$), obtenemos el resultado mencionado anteriormente

$$J = 3S_A + S_B + 3L_A = 4S_B + 3L_A + 3\varepsilon = 0 \text{ implica que: } (L_A = \text{momento orbital del positón A})$$

$$\mu = 3(eS_A/m) + (-eS_B/m) + 3(eL_A/2m) = (6S_A - 2S_B + 3L_A)e/2m = (4S_B + 3L_A + 3\varepsilon + 3\varepsilon)e/2m = 3\varepsilon e/2m \sim 10^{-18}\mu_N$$

Los antinúcleos con carga \bar{z} son idénticos a los núcleos excepto en que tendremos “ $2z-1$ ” negatones ligados a “ $z-1$ ” positones.

Fijémonos que los positones A de los núcleos Hidrógeno (protón) y Helio (alfa) han formado la primera capa coplanaria concéntrica. Ya no caben más positones en dicha capa. El siguiente núcleo, el Litio, formado por 5 positones A y 2 negatones B, está obligado a configurarse en dos capas coplanarias y concéntricas alrededor de un positón A central. Dos negatones se acoplan al positón (estructura antiproton) formando la 1^a capa y, los 4 positones restantes forman la 2^a capa acoplándose con los negatones, dos a cada lado, formando una simetría axial tipo “>-<”. Es como si acoplásemos una partícula alfa con un protón. El positón central puede admitir un 2º protón (2A + B) produciéndose la atadura mediante su negatón B. Acabamos de formar el núcleo de Berilio (7 positones + 3 negatones), de tal forma, que ahora tenemos 3 negatones B en la 1^a capa y 6 positones A en la 2^a. La configuración es como si a un antihelio le acoplásemos a cada negatón B dos positones A. Ahora ya no podemos introducir más positones o negatones en estas capas. Tenemos que pensar en una 3^a capa concéntrica donde añadiremos más protones (2A + B) como antes, es decir, acoplándolos mediante su negatón B a los positones A de la 2^a capa. De esta forma obtendremos los seis núcleos siguientes (B, C, N, O, F, y Ne). Con el Neón volvemos a tener una configuración completamente simétrica, tipo Helio, con seis ramas radiales equidistantes que terminan con dos positones A cada una. En la 4^a capa, aunque disponemos de 12 positones periféricos para acoplarlos a 12 protones y formar los 12 siguientes núcleos, no estamos seguros de que esto sea así. Posiblemente sólo se puedan acoplar 8. Esto es debido a que en todo momento nos estamos enfrentando a una configuración espacial dinámica en equilibrio de fuerzas, en donde los

positones pulsan y giran desfasados 180° con respecto a los negatones, aumentando y reduciendo sus dimensiones constantemente. En un instante sólo vemos positones (los negatones se han reducido a un punto) y medio periodo después todo lo contrario, sólo vemos negatones. Resolviendo esta problemática, se pueden ir configurando todos los núcleos. Como directriz de trabajo nos puede guiar la configuración electrónica de los átomos ya que sus electrones están únicamente posicionados en función de la estructura del núcleo.

Admitiendo en la 4^a capa sólo 8 protones acoplados, obtenemos los ocho siguientes núcleos (Na, Mg, Al, Si, P, S, Cl y Ar). De esta forma, obtenemos para el Argón, una estructura radial simétrica compuesta de 8 ramas que terminan con 2 positones cada una, lo que hace un total de 16 positones periféricos. A modo de orientación, en la 5^a capa contemplamos acoplar sólo 6 protones y en la 6^a todos. Así conseguiríamos un Kriptón con simetría radial formado por 8 ramas principales y 12 miniramas periféricas.

Los isótopos tienen la misma configuración geométrica debido a que poseen la misma cantidad de tones. Sin embargo, sus masas, sus spines y sus momentos orbitales cambian, así como todas sus dimensiones y sus fuerzas de ligadura F_{ij} , dándonos de esta forma otras propiedades físicas. Hemos llegado a la conclusión de que los isótopos existentes se diferencian y se reconocen sobre todo por la posibilidad de que el modelo permite o no el cambio de sentido de giro de los tones. Por ejemplo, el deuterón mantiene la estructura de giros del protón, excepto en que un positón gira al revés, y en el tritón, los tres tones giran a izquierdas. Con estas características, el deuterón posee una fuerza de ligadura fuerte (inferior a la del protón) propia de un núcleo estable y, posiblemente, la asimetría de sus sentidos de giro de sus tones nos conduzca a que tenga y le podamos calcular un momento cuadripolar eléctrico Q, mientras que en el tritón (simetría total de giro), sólo obtenemos una fuerza de ligadura muy débil, del orden de 0,002 N, causante probablemente de su inestabilidad.

Modelando la radiactividad y las reacciones nucleares

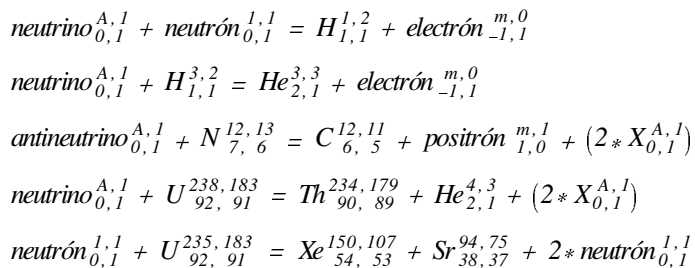
El modelo es apto para pensar que la radiactividad está causada por el choque probabilístico de un neutrino contra una partícula o núcleo con fuerza de ligadura F_{ij} débil (estructura inestable ante una agresión). Fijémonos en que si un neutrino colisiona con un neutrón, podemos formar un protón y queda libre un negatón (electrón). Y si un neutrino lo hace con un tritón, tenemos la posibilidad de formar un Helio de masa atómica 3 y nos queda libre otro negatón (electrón). A veces es necesaria la participación de dos neutrinos. También es posible la emisión de positones libres (positrones) por colisión de uno o dos neutrinos con un núcleo inestable. La emisión de una partícula α podría requerir el choque de un neutrino. En este caso deberíamos detectar además la emisión de 2 neutrinos. En todas estas colisiones, probablemente desempeñe un papel relevante otra propiedad que predice el modelo: los neutrinos (materia neutra) son repelidos muy débilmente por los negatones (propiedad 2^a) y son atraídos también muy débilmente por los positones (propiedad 1^a). Si esto se cumple, los neutrinos tienen facilidad para atravesar la barrera electrónica de un átomo y chocar contra su núcleo. Es una forma de aportar energía al núcleo y, en caso de que éste fuera inestable, provocar la emisión de alguna partícula.

Debido a la misma propiedad, un neutrón con velocidad puede llegar fácilmente al núcleo de un átomo y colisionar con él, produciéndose la fisión de éste en caso de que sea inestable (tones ligados con débil fuerza F_{ij}). El modelo predice que un positón atrae un neutrón con una fuerza del orden de $9 \times 10^{-19} F_E$, que es equivalente a decir que el neutrón posee una carga aparente residual de $-9 \times 10^{-19} e^+$.

Posiblemente, el modelo pueda contribuir a mejorar el conocimiento de las reacciones nucleares si añadimos la afirmación de que la cantidad total de positones y negatones debe conservarse, independientemente de que sus masas y sus spines puedan variar de valor. Para ello, escribamos el n^o de positones y negatones que constituyen los núcleos o partículas X de masa atómica A y carga z de la forma siguiente:

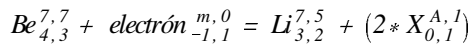
$$X_z^A, \text{Positones}$$

Las reacciones comentadas anteriormente se escribirían:



Las dos partículas neutras que hemos puesto entre paréntesis posiblemente sean partícula y antipartícula. ¿Existen realmente como productos finales o se han desintegrado?

Como ejemplo de una captura electrónica podemos señalar la siguiente reacción:



Todas las reacciones nucleares se pueden escribir y analizar aplicando el criterio de la conservación de los tones, tal como lo hemos hecho.

Modelando el átomo

La disposición simétrica por capas concéntricas de los positones y negatones del núcleo girando en un solo plano orbital, así como la pulsación desfasada entre ellos de 180° , permiten que las ondas esféricas longitudinales anarmónicas polarizadas (\pm) emitidas desde los tones lleguen a cualquier punto del espacio, superponiéndose y conformando un campo muy complejo de interferencias donde los electrones (negatones), en su movimiento orbital, sólo pueden ubicarse en una posición determinada respecto a la posición del núcleo. Queremos decir con esto que un observador en el núcleo ve los electrones inmóviles. Veámoslo con más detalle:

Por una parte, tendremos electrones geoestacionarios con velocidad angular ω_z que están en el plano orbital del núcleo (plano XY) y, por otra, los que están únicamente ubicados a un lado u otro del plano en posición polar (eje Z) que producen pares de fuerza (momento de torsión N_y) sobre dicho plano, que le obligan a girar en el mismo sentido que ellos, provocándose consecuentemente un movimiento de precesión ω_x para mantener el núcleo su momento total J_z . Este efecto giroscópico causado por los electrones polares conduce a que el eje de rotación del plano orbital cambie continuamente de dirección. Por lo tanto, el núcleo y los electrones geoestacionarios tendrán tres componentes de giro orbital (ω_x , ω_y , ω_z) en tanto que los electrones polares sólo dos (ω_x , ω_y). Por otra parte, los electrones alinearán paralelamente sus momentos magnéticos con el momento magnético total μ_z del núcleo, dándonos así contribuciones de spín $\pm\frac{1}{2}$ en la dirección z al momento total del átomo. Por último, recordemos que los electrones (negatones) pulsan y pueden modificar sus dimensiones en función del coeficiente de giro ξ para acomodarse a las interferencias de ondas que se producen en el medio.

La problemática de resolver la configuración electrónica de todos los átomos es muy difícil pero no imposible. Por el momento sólo nos atrevemos a esbozar unos pocos resultados de acuerdo con la configuración de los núcleos que hemos descrito. Es la siguiente:

Z	Átomo	electrones polares	electrones geoestacionarios
1	Hidrógeno	1s ¹	
2	Helio	1s ² (uno a cada lado)	
3	Litio	1s ²	2s ¹
4	Berilio	1s ²	2s ²
5	Boro	1s ²	2s ² , 2p ¹
6	Carbono	1s ²	2s ² , 2p ²
7	Nitrógeno	1s ²	2s ² , 2p ³
8	Oxígeno	1s ²	2s ² , 2p ⁴
9	Flúor	1s ² , 2s ¹	2s ¹ , 2p ⁵
10	Neón	1s ² , 2s ²	2p ⁶
11	Sodio	1s ² , 2s ² , 2p ¹	2p ⁵ , 3s ¹
12	Magnesio	1s ² , 2s ² , 2p ²	2p ⁴ , 3s ²
13	Aluminio	1s ² , 2s ² , 2p ²	2p ⁴ , 3s ² , 3p ¹
14	Silicio	1s ² , 2s ² , 2p ²	2p ⁴ , 3s ² , 3p ²
15	Fósforo	1s ² , 2s ² , 2p ²	2p ⁴ , 3s ² , 3p ³
16	Azufre	1s ² , 2s ² , 2p ²	2p ⁴ , 3s ² , 3p ⁴
17	Cloro	1s ² , 2s ² , 2p ²	2p ⁴ , 3s ² , 3p ⁵
18	Argón	1s ² , 2s ² , 2p ²	2p ⁴ , (3s ² , 3p ⁶)

Otras posibilidades

Los campos de las ondas longitudinales anarmónicas polarizadas que emiten los tones dejan de ser esféricos en el momento en que éstos llevan velocidad lineal, conformándose un campo nuevo deformado de ondas que lo identificamos como el campo magnético que produce una carga en movimiento. En este campo los tones se autopropulsan atendiendo a las leyes de las fuerzas magnéticas.

La radiación electromagnética está producida por un ton cuando éste oscila perpendicularmente a su trayectoria.

Hemos comentado ya que las órbitas posibles de los electrones (negatones) alrededor del núcleo están unívocamente determinadas por el complejo campo de interferencias que producen los tones del núcleo. Pensemos en el átomo de Hidrógeno. El electrón, debido a su autopropulsión, sólo puede estar orbitando alrededor del protón (*2 positones + 1 negatón*) en ciertas órbitas estables (estados cuánticos) en donde sus fuerzas de impulsión y absorción sobre el campo de interferencias concéntricas están equilibradas en todo momento. Dicho de otro modo, el electrón orbita en un equilibrio constante de fuerzas a través de un túnel circular guiado por las contracciones y dilataciones del vacío (mejor éter) producidas por las ondas anarmónicas del protón. Cualquier acción externa sobre el electrón obliga a éste a localizar otra órbita estable.

La estabilización del electrón en una órbita inferior vendría acompañada de un movimiento oscilante transversal amortiguado, causante de la radiación electromagnética (fotón) que medimos. Por el contrario, cuando el electrón recibe radiación electromagnética, éste se autopropulsa a una órbita superior. Todas las órbitas estables nos las da la Mecánica Cuántica. Estamos convencidos de que existe una relación estrecha entre este modelo mecánico-onda y los resultados obtenidos por la Mecánica Cuántica

Las asimetrías (25) y (26) de las fuerzas eléctricas y sus 5 propiedades (consecuencias del *Aspín*) nos invitan a una reflexión profunda sobre todas las demás interacciones conocidas entre átomos, iones y moléculas. Asimismo, sugerimos que se contemple las consecuencias de esta teoría en otros campos de la Física, de la Química y de la Ciencia en general.

Visto ahora todo lo expuesto en su conjunto y las posibilidades que el modelo proporciona, podemos intuir que toda la materia puede estar constituida por estructuras compuestas de tones pulsantes y en rotación. De ser así, las más pequeñas y compactas (neutrones, protones, núcleos, etc.) así como las demás, serán, por lo tanto, "máquinas" sumergidas en un medio, llamémosle éter, vacío, etc... del que nos queda por definir sus propiedades elásticas. Estamos convencidos de que este medio va perdiendo sus propiedades conforme las ondas lo atraviesan, de tal forma que frecuencia y amplitud le hacen disminuir su elasticidad. La superposición de ondas incrementa todavía más este efecto. Como consecuencia de ello, las velocidades de propagación de las ondas longitudinales anarmónicas y electromagnéticas disminuyen en el interior de la materia y proximidades. Esto nos lleva, por ejemplo, a la interpretación de que la refracción de la luz se produce en el medio (éter) perturbado por los tones y a que la luz se curva en las proximidades del Sol. Así mismo, deducimos que esas pequeñas estructuras (núcleos y partículas) fijan sus dimensiones y sus velocidades de rotación mediante un ξ determinado como consecuencia de un necesario equilibrio de fuerzas con el éter.

Por último, podríamos comentar las interpretaciones que esta teoría ofrece sobre temas específicos tales como el efecto fotoeléctrico, el efecto Compton, la difracción (doble rendija) de electrones, conductores eléctricos, el experimento Michelson-Morley, la aberración estelar, el incremento de masa de las partículas y su velocidad en los aceleradores lineales, la radiación desde cargas en movimiento, el principio de incertidumbre, la relatividad, la fusión, el agujero negro, etc., pero preferimos de momento que el lector haga sus propios análisis desde el punto de vista de esta teoría, considerándola al menos, de momento, como una herramienta matemática capaz de interpretar dichos temas y otros.

REFERENCIAS

- [1] **Lana-Renault, Yoël** (2000). *Exact zero-energy solution for a new family of anharmonic potentials*. Rev. Academia de Ciencias. Univ. Zaragoza, Vol **55**, 103-109.

BIBLIOGRAFÍA

- Yuval Ne'eman & Yoram Kirsh (1986). *The Particle Hunters*. Syndicateof the Press of the U. of Cambridge
- Michel Crozon (1987). *La matière première*. Éditions du Seuil, Paris
- Hubert Reeves (1988). *Patience dans l'Azur. L'évolution cosmique*. Éditions du Seuil, Paris
- Sheldon L. Glashow (1991). *The Charm of Physics*. The American Institute of Physics
- Paul Davies & John Gribbin (1992). *The Matter Myth*. Orion Productions
- John H. Mauldin (1988). *Light, Lasers and Optics*. Tab Books
- Marcelo Alonso & Edward J. Finn (1987). *Fundamental University Physics*. Addison-Wesley
- Raymond Chang (1991). *Chemistry*. McGraw – Hill, Inc., U.S.A.
- A. P. French (1993). *Vibrations and Waves*. W.W. Norton & Company, Inc., New York
- A. P. French (1988). *SpecialRelativity*. W.W. Norton & Company, Inc., New York
- Robert Resnick (1981). *Basic Concepts in relativity and early quantum Theory*. John Wiley & Sons, Inc.
- Robert Resnick (1981). *Introduction to Special Relativity*. John Wiley & Sons, Inc.
- Leonard I. Schiff (1968). *Quantum Mechanics*. McGraw-Hill
- G.S. Landsberg (1983). *Óptica*. Editorial MIR, Moscú
- R.W. Ditchburn (1982). *Light*. Academic Press, London
- Particle Physics Booklet* (1996). American Institute of Physics
- Richard B. Firestone (1996). *Table of Isotopes*. Wiley-Interscience Publication